

مدل‌سازی مطلوبیت زیستگاه پاییزه گوسپند وحشی البرز مرکزی (*Ovis gmelini X O. vignei*) در مجموعه حفاظت‌شده جاجرود

رضا گل‌جانی^{*}^۱، محمد کابلی^۲، محمود کومی^۳، بابک نعیمی^۴ و افшин علیزاده‌شعبانی^۵

گروه تنوع زیستی و زیستگاه‌ها، دانشکده محیط‌زیست و انرژی، دانشگاه آزاد اسلامی، واحد علوم و تحقیقات، تهران، ایران

^۱ استادیار دانشکده منابع طبیعی، دانشگاه تهران، ایران

^۲ استاد دانشکده منابع طبیعی، دانشگاه تهران، ایران

^۳ مرتبی دانشکده انرژی و محیط‌زیست، دانشگاه آزاد اسلامی، واحد علوم و تحقیقات، ایران

(تاریخ دریافت: ۱۷/۰۸/۸۸، تاریخ تصویب: ۱۳/۰۲/۸۹)

چکیده

مجموعه حفاظتی جاجرود (پارک‌های ملی خجیر و سرخه حصار و منطقه حفاظت شده جاجرود) یکی از زیستگاه‌های مهم گوسپند وحشی البرز مرکزی (*Ovis gmelini X O. vignei*) در ایران است. از آنجایی که این گونه در فصل پاییز تولید مثل می‌کند، گستره خانگی پاییزه اهمیت ویژه‌ای در چرخه حیات این گونه دارد. در این پژوهش با استفاده از تحلیل عاملی آشیان بوم‌شناختی (ENFA) عامل‌های موثر بر حضور گونه در زیستگاه پاییزه شناسایی و مطلوبیت زیستگاه در این دوره محاسبه شد. نتایج نشان داد این گونه دارای آشیان بوم‌شناختی باریکی در این فصل بوده و نسبت به تغییرات زیستگاه حساس است. زیستگاه‌های مطلوب در مناطقی با ارتفاع بیش از ۱۵۳۵ متر، میانگین دمای فصل کمتر از ۱۰ درجه سلسیوس، دارای گریزگاه مناسب و به دور از روستاهای قرار دارند. مناطق نظامی و جاده‌ها با توجه به نوع کاربری تاثیرات متفاوتی بر حضور گونه و مطلوبیت زیستگاه دارند.

واژه‌های کلیدی: گوسپند وحشی البرز مرکزی، مدل‌سازی مطلوبیت زیستگاه، تجزیه و تحلیل عاملی آشیان بوم‌شناختی

را می‌توان به عنوان داده عدم حضور در مدل استفاده کرد (Martin et al., 2005). دستیابی به داده‌های عدم حضور صحیح نیازمند پایش مداوم زیستگاه، ثبت نقاط حضور و عدم حضور گونه در سالیان متمادی و دستیابی به اطلاعات کافی در مورد بوم‌شناسی گونه است (Sobern & Peterson, 2005). استفاده از مدل‌هایی که تنها نیازمند داده‌های حضور هستند، می‌تواند از خطاهای حاصل از بکارگیری داده‌های عدم حضور اشتباه جلوگیری کند (Zaniewski et al., 2002).

در این پژوهش به علت نبود داده‌های عدم حضور مطمئن از مدل تجزیه و تحلیل عاملی آشیان بوم‌شناسخی^۱ (ENFA) که تنها به داده‌های حضور گونه احتیاج دارد برای شناسایی عوامل موثر بر حضور گوسپند وحشی البرز مرکزی و محاسبه مطلوبیت زیستگاه‌این گونه در فصل پاییز استفاده شد.

مواد و روش‌ها

منطقه مورد مطالعه

مجموعه حفاظت شده جاجرود با وسعت ۷۲۱۱۵ هکتار در عرض جغرافیایی ۳۵ درجه و ۳۰ دقیقه تا ۳۵ درجه و ۵۰ دقیقه شمالی و طول ۵۱ درجه و ۳۰ دقیقه تا ۵۲ درجه و ۵۱ دقیقه شرقی و در شرق شهر تهران قرار دارد. پوشش گیاهی غالب منطقه دو جنس *Astragalus spp* و *Artemisi spp* می‌باشد. حداکثر بارش متوسط دراز مدت ماهانه و حداکثر و حداقل میانگین سالانه رطوبت نسبی به ترتیب برابر با ۳۷۳ میلی متر $\frac{۶۲}{۳}$ و $\frac{۴۸}{۱}$ درصد هستند. بیشترین و کمترین سرعت باد معادل $\frac{۲۲}{۴}$ و $\frac{۰}{۳}$ متر بر ثانیه در ماههای شهریور و آذر بوده و سیستم موثر باران زا توده‌های مدیترانه‌ای است و بر مبنای اقلیم نمای آمربرژه اقلیم غالب در منطقه نیمه مرطوب سرد است (Abad Consultatnt Engineers, 2002). ارتفاع کمینه، بیشینه و میانگین آن به ترتیب ۱۰۰۰، ۲۴۶۰ و ۱۵۳۵ متر از سطح دریا بوده و فراوانترین ارتفاع از نظر

مقدمه

هدف از مدل‌سازی مطلوبیت زیستگاه کمی کردن روابط بین توزیع گونه و محیط زنده و غیر زنده است (Rushton et al., 2004). مدیریت گونه‌های در خطر انقراض، احیاء بوم سازگان‌ها، تحلیل زیستمندی جمعیت و تحلیل تضاد بین انسان و حیات وحش (Louto et al., 2006)، شناسایی زیستگاه‌های مناسب برای حفاظت (Martinez et al., 2006)، بطور عمده متکی به مدل‌سازی رابطه بین زیستگاه و توزیع گونه‌ها هستند. مدل‌هایی که بتوانند مطلوبیت زیستگاه حیات وحش را بدون نیاز به داده‌های دقیق فیزیولوژیک و رفتاری آن‌ها در مقیاس وسیع پیش‌بینی کنند، می‌توانند برای مدیران حیات وحش بسیار کارآمد و عملی باشند (Etienne, 2002). گوسپند وحشی البرز مرکزی (Ovis gmelini X O vignei) از جمله گونه‌هایی است که دارای چندین گستره خانگی فصلی است (Geist, 1971). از آنجایی که این گونه در فصل پاییز جفت‌گیری می‌کند (ضیایی ۱۳۸۷)، گستره خانگی پاییزه از اهمیت ویژه‌ای در چرخه حیات این گونه برخوردار است. مجاورت با شهر تهران، امکن انسان ساخت، جاده‌ها، فنss ها و موانع، فعالیت‌های نظامی وغیره باعث محدود شدن و تجزیه زیستگاه‌این گونه در مجموعه حفاظت شده جاجرود (شامل پارک ملی خجیر، پارک ملی سرخه حصار و منطقه حفاظت شده جاجرود) شده است. لذا شناسایی عامل‌های موثر بر حضور این گونه و محاسبه مطلوبیت زیستگاه آن می‌تواند گامی موثر در حفاظت از این گونه باشد.

مدل‌های پیش‌بینی کننده مطلوبیت زیستگاه بر اساس متغیر وابسته به دو دسته مدل‌های وابسته به داده‌های حضور و عدم حضور و مدل‌های وابسته به داده‌های فقط حضور تقسیم‌بندی می‌شوند. یکی از مشکلات اساسی مدل‌هایی که نیاز به داده‌های حضور و عدم حضور به عنوان متغیر وابسته دارند، نبود داده‌های عدم حضور مطمئن است (Guisan & Zimmerman, 2000). یک گونه ممکن است به علل مختلفی همچون انقراض موقت محلی، عدم مشاهده در زمان نمونه‌برداری، وجود موانع پراکنش و نامطلوب بودن زیستگاه در بخشی از زیستگاه مشاهده نشود. تنها مورد آخر

مقادیر مثبت M نشان می‌دهد که گونه مورد مطالعه مقادیری بیشتر از میانگین زیستگاه را در مورد آن متغیر ترجیح می‌دهد در حالیکه مقادیر منفی ترجیح مقادیر کمتر از میانگین زیستگاه را نشان می‌دهد. فاکتور تخصص گرایی بین صفر و بینهایت تغییر می‌کند اما مقدار عکس آن (T) بین صفر و یک تغییر می‌کند که هر چه به صفر نزدیکتر باشد نشان دهنده تحمل کم گونه نسبت به تغییر شرایط میانگین زیستگاه است (معادله ۳).

$$T = \frac{1}{S} \quad \text{معادله (۳)}$$

نقشه نقاط حضور و متغیرهای مورد استفاده
 برای تهیه نقشه نقاط حضور گونه، ترانسکت‌هایی بر اساس مشاهدات و تجربیات کارشناسان و محیط‌بانان، محل تجمع گوپسیند وحشی و راه‌های دسترسی به منطقه به طول کل ۱۱۴ کیلومتر انتخاب و از مهرماه تا اواسط دی ماه سال ۱۳۸۷ مورد پیمایش قرار گرفت. در مجموع این پیمایش‌ها ۸۰ نقطه حضور توسط GPS ثبت شد. به علت تشابه نمایه‌های کل و بز و گوپسیند اهلی با گونه مورد مطالعه، فقط داده‌های مربوط به مشاهده مستقیم ثبت شدند. ارتفاع از سطح دریا، شیب، جهت جغرافیایی (پنج طبقه)، گریزگاه و متوسط دمای فصل به عنوان متغیرهای بوم‌جغرافیایی^۱ و راه‌ها، روستاهای پادگان‌ها، مناطق صنعتی، باغات و مزارع به عنوان متغیرهای توسعه انسانی در ENFA مورد استفاده قرار گرفتند. لایه‌های اطلاعاتی تمام متغیرها پس از رقومی سازی با اندازه سلول 30×30 متر در نرم‌افزار ArcGIS 9.2 به نقشه رستری تبدیل شدند. متغیرهای کمی (ارتفاع، شیب و متوسط دمای فصل) به طور مستقیم در تحلیل‌ها استفاده شدند. متغیرهای کمی نیز به متغیرهای فراوانی و فاصله‌ای تبدیل شدند تا بدین صورت کمی شوند. از آنجایی که جانوران محیط زیست را در مقیاس‌های مختلف مشاهده می‌کنند (Karl et al., 2000) و مطالعات مختلف نشان داده است مدل‌های زیستگاهی که شامل بیش از یک مقیاس هستند، نتایج بهتری را ارائه

و سعت ۱۲۰۰ تا ۱۸۰۰ متر از سطح دریا می‌باشد. نیمی از منطقه مطالعاتی دارای شیب صفر تا ده درصد و یک درصد از منطقه دارای شیب بیش از هفتاد درصد است. میانگین شیب ۱۵ درصد و انحراف معیار آن ۱۶ برآورد شده است. در یک دسته بندی کلی توسعه انسانی در این منطقه شامل بزرگراه آبعلی در قسمت شمالی و مناطق مسکونی اطراف آن، جاده آسفالتی چهار بانده پارچین درون منطقه، روستاهای و زمین‌های کشاورزی، دریاچه سد ماملو، مناطق نظامی و عشایر و دام‌های فصلی می‌باشد.

ENFA مدل

اساس کار این مدل مقایسه ویژگی‌های بوم شناختی نقاط حضور گونه با ویژگی‌های بوم شناختی کل منطقه مطالعاتی است. این روش مشابه تجزیه به مولفه‌های اصلی^۲ بوده و متغیرهای پیش‌بینی کننده را به چند فاکتور که با یکدیگر همبستگی ندارند و حاوی عمدۀ اطلاعات متغیرهای اولیه هستند خلاصه می‌کند. تفاوت ENFA با تحلیل‌های عاملی کلاسیک این است که در این روش فاکتورها براساس مفهوم آشیان بوم شناختی استخراج می‌شوند. اولین فاکتور خروجی در این روش فاکتور حاشیه‌ای^۳ (M) نام دارد که عبارت است از قدر مطلق تفاوت بین میانگین یک متغیر در کل منطقه مورد مطالعه (m_G) و میانگین توزیع گونه در آن متغیر (m_S) تقسیم بر 1.96 در انحراف معیار هر متغیر در کل منطقه مطالعاتی (σ_G) (معادله ۱). سایر فاکتورها تخصص گرایی^۴ (S) که با تقسیم σ_G بر انحراف معیار سلول‌های مشاهده گونه (σ_S) بدست می‌آیند (معادله ۲). (Hirzel, 2001)

$$M = \frac{|m_G - m_S|}{1.96\sigma_G} \quad \text{معادله (۱)}$$

$$S = \frac{\sigma_G}{\sigma_S} \quad \text{معادله (۲)}$$

۱- Principal Component Analysis (PCA)

۲- Marginality

۳- Specialisation

حاشیه‌ای (M) نشان می‌دادند. لذا از این طبقه بندی به عنوان لایه رستری طبقات شیب در تحلیل‌ها استفاده شد. جاده‌ها بر اساس نوع (خاکی، آسفالت و اتوبان)، میزان رفت و آمد و امنیت به چهار کلاس تقسیم شد. در عین حال برای فهم تاثیر کلی جاده‌ها لایه‌ای مت Shank از تمام جاده‌ها نیز تهیه شد. از آنجایی که اندازه سلولی در این پژوهش ۳۰ متر در نظر گرفته شده بود و این مقدار از عرض واقعی جاده‌ها بزرگ‌تر است، ابتدا لایه وکتوری جاده‌ها با اندازه سلولی ۱۰۰ متر تبدیل به رستر شد، سپس از این لایه برای تهیه لایه فاصله توپوگرافیکی از جاده‌ها با اندازه سلول ۳۰ متر مورد استفاده شد.

پادگان‌ها و مناطق نظامی به دو کلاس تقسیم شدند. مناطقی که سازه‌های نظامی در آن‌ها استقرار دارند و مناطقی که جزو مناطق نظامی هستند اما سازه‌ای در آن‌ها وجود ندارد و فقط عبور و مرور غیرنظامیان در آن‌ها ممنوع است.

آماده‌سازی متغیرها

برای نرمال سازی لایه‌های غیر نرمال از تبدیل باکس-کاکس^۲ استفاده شد (معادله ۴).

$$T(X) = \frac{(X^Y - 1)}{Y} \quad (4)$$

در این معادله X متغیر اصلی، $T(X)$ مقادیر تبدیل یافته و Y ضریب همبستگی بین داده‌ها هستند. از آنجایی که لایه‌های مورد استفاده در ENFA باید پیوسته و به اندازه کافی نرمال باشند (Hirzel et al., 2001)، لایه‌هایی که پس از انجام این مرحله نرمال نشدند، حذف شدند. پس از این مرحله، همبستگی بین متغیرها دو به دو بررسی شد و یکی از دو متغیری که دارای همبستگی بیش از ۸۰٪ بودند بر اساس میزان سهمی که در توزیع گونه دارند حذف شد.

نقشه مطلوبیت زیستگاه

می‌دهند (Pathey, 2003; Manel et al., 1999)، فراوانی متغیرهای کیفی با چندین شعاد (۵۰۰ متر، ۱ کیلومتر، ۲ الی ۵ کیلومتر) محاسبه شد. سپس با استفاده از آزمون همبستگی شعادهای دارای همبستگی زیاد شناسایی و حذف شدند. علاوه بر این شعادهایی که بر اساس نتایج ENFA تاثیر چندانی در توزیع گونه نداشتند نیز حذف شدند. برای تهیه متغیرهای فاصله‌ای از تابع فاصله توپوگرافیکی ۱ استفاده شد. این تابع علاوه بر فاصله اقلیدسی بین دو سلول در نقشه رستری، عوامل شیب و ارتفاع را نیز لحاظ کرده و در مناطق تپه ماهوری و کوهستانی نتایج بهتری را نسبت به تابع فاصله کمینه ارائه می‌کند (Hirzel et al., 2008).

از نقشه توپوگرافی با مقیاس ۱:۵۰۰۰۰ برای تهیه لایه‌های ارتفاع، شیب و جهت استفاده شد. متوسط دمای فصل بوسیله رگرسیون خطی ساده تهیه شد که در آن متوسط دمای فصل متغیر وابسته و ارتفاع از سطح دریا متغیر مستقل درنظر گرفته شدند. گریزگاه یکی از مهمترین اجزای زیستگاه گوسپند وحشی است. قوچ و میش‌ها از گریزگاه جهت حفظ خود در مقابل خطرات احتمالی، استراحت و بره آوری استفاده می‌کنند (ماهینی، ۱۳۷۳). وسعت و پراکندگی گریزگاه تنظیم کننده میزان استفاده از سایر اجزای زیستگاه بوده و فعالیت این گونه Wockner (et al., 2003) گریزگاه با فراوانی طبقات شیب و فاصله توپوگرافیکی از آن‌ها تعریف شد. برای تعیین بهترین الگوی طبقه بندی، از همبستگی بین طبقات مختلف شیب در الگوهای مختلف و میزان اطلاعات داده شده توسط هر الگو استفاده شد. از آنجایی که میزان همبستگی بین طبقات شیب شامل $0-10$, $10-20$, ..., $70 >$ از حد بحرانی (80%) نسبت به سایر طبقه بندی‌های شیب (به عنوان مثال $2-4$, $4-10$ و ...) کمتر بود و همچنین از آنجایی که طبقات مذکور بیشترین میزان اطلاعات را در فاکتور

مطلوبیت زیستگاه و یک بخش به عنوان نقاط ارزیابی استفاده شد. این رویه هفت بار تکرار شد و هر دفعه یک بخش جدید برای ارزیابی قدرت مدل مورد استفاده قرار گرفت و درنتیجه هفت نقشه مطلوبیت زیستگاه بدست آمد. سپس در هر نقشه با استفاده از شاخص پیوسته Boyce et al., 2006) دامنه مطلوبیت زیستگاه به ۲۰ قسمت تقسیم بندی و در هر قسمت نرخ F_i (Boyce et al., 2002 (معادله ۵) محاسبه شده و در مقابل میانگین مطلوبیت زیستگاه آن قسمت در یک نمودار قرار گرفت و نمودار نرخ F به مطلوبیت زیستگاه بدست آمد.

معادله (۵)

$$F_i = \frac{P_i}{E_i} = \frac{p_i / \sum_{j=1}^b p_j}{a_i / \sum_{j=1}^b a_j}$$

در این معادله F_i نرخ مقدار پیش‌بینی شده به مقدار مورد انتظار، P_i و p_i به ترتیب فراوانی نقاط ارزیابی و تعداد نقاط ارزیابی در دامنه مطلوبیت زیستگاه i می‌باشد. $\sum P_j$ تعداد کل نقاط ارزیابی، E_i فراوانی مورد انتظار نقاط ارزیابی، a_i و $\sum a_j$ به ترتیب تعداد سلول‌های متعلق به دامنه مطلوبیت زیستگاه i و تعداد کل سلول‌ها در نقشه رستری مطلوبیت زیستگاه می‌باشد.

نتایج

ارتباط بین توزیع گوسپندوحتی البرز مرکزی و متغیرهای زیستگاهی

مقادیر ویژگی حاشیه‌ای نشان می‌دهد که گوسپند وحشی البرز مرکزی مناطقی را ترجیح می‌دهد که ارتفاع بیشتر از ارتفاع میانگین زیستگاه (بیشتر از ۱۵۳۵ متر، مقدار حاشیه‌ای = ۰/۰۸۲)، شیب‌های نزدیک به میانگین زیستگاه (۱۵ درصد، مقدار حاشیه‌ای = ۰/۰۱) و میانگین دمای پاییزه کمتر از میانگین زیستگاه (کمتر از ۱۰ درجه، مقدار حاشیه‌ای = ۰/۱۰۴) داشته باشند.

تمام مراحل اجرای ENFA در نرمافزار Biomapper 4.0 (Hirzel et al., 2008) انجام شد. ابتدا مقادیر عامل‌های حاشیه‌ای و تخصص‌گرایی برای متغیرهای زیستگاهی محاسبه شد و آن متغیرهایی که سهم ناچیزی در این فاکتورها داشتند حذف شدند. همین مراحل برای متغیرهای توسعه انسانی تکرار شد. بدین ترتیب متغیرهای بی تاثیر در رجحان زیستگاه از تجزیه و تحلیل کنار گذاشته شدند. سپس بر اساس روش چوب شکسته^۱ (Hirzel et al., 2002a) ۷ فاکتور از ۴۲ فاکتور محاسبه شده برای تهیه نقشه مطلوبیت زیستگاه انتخاب شدند. نقشه مطلوبیت زیستگاه با الگوریتم‌های میانه^۲ (Hirzel et al., 2002b)، میانگین فاصله هندسی^۳ (Hirzel & Arlettaz, 2003)، میانگین فاصله هارمونیک^۴ و الگوریتم حداقل فاصله^۵ (Hirzel et al, in press) تهیه شده و با استفاده از نتایج اعتبارسنجی مدل بهترین الگوریتم انتخاب شد. سپس با توجه به تغییرات شیب خطوط میانه و حدود اعتماد نرخ F به مطلوبیت زیستگاه (شکل ۱)، این نقشه طبقه بندی شد. بدینصورت که هر قسمت از منحنی که دارای شیب مسطح و یا منفی بود در یک طبقه قرار گرفت (Hirzel et al., 2006). دامنه شاخص مطلوبیت زیستگاه در این پژوهش ۱۰۰ - ۰ در نظر گرفته شد که صفر بیانگر کمترین مطلوبیت و ۱۰۰ نمایانگر مطلوبیت بیشینه می‌باشد.

ارزیابی قدرت پیش‌بینی مدل

از رویه اعتبار سنجی^۶ برای ارزیابی قدرت پیش‌بینی مدل‌های تهیه شده از الگوریتم‌های مختلف استفاده شد. بدین ترتیب که نقشه نقاط حضور به طور تصادفی به هفت بخش مستقل تقسیم شد. از شش بخش برای تهیه مدل

۱- Broken stick method

۲- Median algorithm

۳- Geometric mean distance algorithm

۴- Harmonic mean distance algorithm

۵- Minimum distance algorithm

۶- Cross-validation process

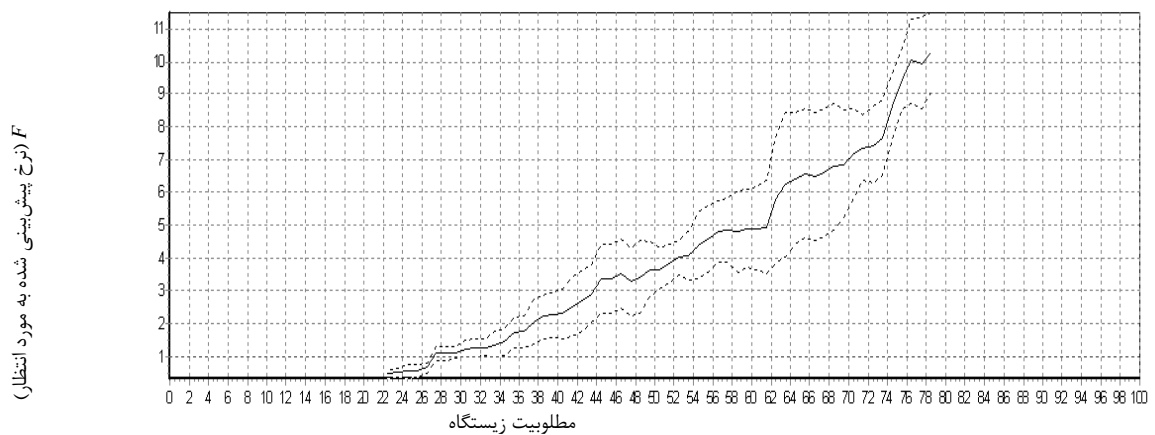
روستاها نیز تاثیر منفی بر حضور گوسپند وحشی در فصل پاییز داشته و این گونه از آن‌ها دوری می‌کند (فاصله توپوگرافیکی = ۰/۲۶۷). بعلاوه نتایج نشان می‌دهد که باغات (فاصله توپوگرافیکی = ۰/۱۳۳) و جنگل دست کاشت (فاصله توپوگرافیکی = ۰/۳۴۲) باعث جذب این گونه می‌شوند (حاشیه‌این مناطق به علت رویش علفهای تازه مورد توجه گوسپند وحشی است). همچنین گونه مورد مطالعه از مناطق نظامی که سازه‌های نظامی در آن‌ها وجود دارد (طبقه ۱) دوری می‌کند (فاصله توپوگرافیکی = ۰/۱۳۶) و مناطق نظامی که سازه‌ای در آن‌ها وجود ندارد و تنها عبور و مرور افراد در آن‌ها ممنوع است را می‌پسندد (فاصله توپوگرافیکی = ۰/۱۲۷) (جدول ۱).

ارزیابی قدرت پیش‌بینی مدل

بر اساس شاخص پیوسته Boyce میانگین هارمونیک به علت مقدار بسیار نزدیک به یک و حدود اعتماد کم عرض از قدرت پیش‌بینی بهتری نسبت به سایر الگوریتم‌ها برخوردار است (جدول ۲). علاوه بر این منحنی نرخ F (نرخ پیش‌بینی شده به نرخ مورد انتظار در محور عمودی) به مطلوبیت زیستگاه (محور افقی) نشان می‌دهد که این مدل از قدرت پیش‌بینی بسیار بالایی برخوردار است. در این نمودار هرجا که نرخ F کم است مطلوبیت زیستگاه نیز کم بوده و هر جا که این نرخ زیاد است مطلوبیت زیستگاه نیز زیاد است. همچنین شکل نمودار به صورت یکنواخت بوده و تقریباً به سمت بی‌نهایت افزایش می‌پابد (شکل ۱).

در میان طبقات جهت کمترین میزان استفاده از دامنه‌های جنوبی است (مقیاس ۱ کیلومتر = ۰/۰۲۵، مقیاس ۳ کیلومتر = ۰/۰۲۲، فاصله توپوگرافیکی = ۰/۰۷۳). بیشترین میزان مطلوبیت را جهت شرقی دارد (مقیاس ۱ کیلومتر = ۰/۹، مقیاس ۳ کیلومتر = ۰/۱۴۴، فاصله توپوگرافیکی = ۰/۱۳۸). در مورد جهت‌های غربی و شمالی مقادیر مقیاس ۱ کیلومتر نشان می‌دهد که گوسپند وحشی از هر کدام از این جهت‌ها به طور مجزا دوری می‌کند. اما مقادیر مقیاس ۳ کیلومتر نشان می‌دهد که احتمال حضور گونه در فاصله‌ای نزدیکتر از میانگین زیستگاه بیشتر است. این امر بدین معناست که این جهت‌های جغرافیایی در کنار سایر جهت‌های جغرافیایی مطلوب هستند، نه به طور مجزا. همچنین نتایج نشان می‌دهد که گوسپند وحشی از شبیه‌های ۳۰ تا ۵۰ درصد در فصل پاییز به عنوان گریزگاه استفاده می‌کند. شبیه‌های بالای ۷۰ درصد و زیر ۱۰ درصد (بدون جهت) نامطلوب بوده و از آن‌ها دوری می‌شود. شبیه‌های ۱۰ تا ۳۰ درصد در صورتی مورد استفاده قرار می‌گیرد که در کنار سایر طبقات شبیه قرار داشته باشدند. این امر از آن جا آشکار می‌شود که مقدار ویژگی حاشیه‌ای مقیاس ۳ کیلومتر این طبقه بزرگتر از مقیاس ۱ کیلومتر است.

علاوه مشخص شد که این گونه در منطقه مورد مطالعه از اتویان آبعلی دوری می‌کند زیرا ویژگی حاشیه‌ای نزدیک به صفر است (۰/۰۱۲). این بدان معناست که فاصله مناطق مطلوب زیستگاه پاییزه گوسپند وحشی به طور میانگین در فاصله ۱۳ کیلومتری از این اتویان قرار گرفته‌اند. بعلاوه‌این گونه در مناطق نزدیک به جاده‌های آسفالت طبقه یک و خاکی طبقه یک در این فصل حضور دارد (فاصله توپوگرافیکی = ۰/۰۳۳) و از جاده‌های آسفالت طبقه ۲ (فاصله توپوگرافیکی = ۰/۱۸۶) و خاکی طبقه ۲ دوری می‌کند (فاصله توپوگرافیکی = ۰/۰۳۲۷). اگر تمامی جاده‌های موجود در منطقه را با یکدیگر در نظر بگیریم، فاصله مناطق حضور گونه از جاده‌ها کمتر از میانگین فاصله زیستگاه از جاده‌ها است (فاصله توپوگرافیکی = ۰/۱۲۷).



شکل ۱- نمودار نرخ F به مطلوبیت زیستگاه پاییزه. خطوط نقطه چین: حدود اعتماد ۹۵٪ و خط سیاه نشان دهنده میانه است.
در مناطقی که نرخ F کمتر از یک است زیستگاه نامطلوب است.

جدول ۱- مقادیر هشت فاکتور اول حاصل از آنالیز ENFA برای زیستگاه پاییزه گوسپند وحشی البرز مرکزی در مجموعه حفاظتی جاجروم

S7 ٪۲	S6 ٪۳	S5 ٪۵	S4 ٪۶	S3 ٪۸	S2 ٪۱۱	S1 ٪۱۳	M ٪۴۳	متغیرهای بوم‌جغرافیایی
-۰/۱۱	-۰/۰۴۴	۰/۰۱	-۰/۰۹۳	۰/۰۰۱	۰/۰۰۷	-۰/۰۳۳	۰/۰۶۴	فراآنی شب ۱۰-۰٪ در مقیاس ۱ کیلومتر
-۰/۰۲۹	۰/۰۰۶	-۰/۰۱۴	۰/۴۳۴	-۰/۴۷۵	۰/۰۲۲	-۰/۲۸۵	-۰/۱۲۴	فراآنی شب ۱۰-۰٪ در مقیاس ۳ کیلومتر
-۰/۰۱۷	۰/۰۰۸	-۰/۰۰۲	-۰/۰۰۷	-۰/۰۰۵	-۰/۰۰۱	-۰/۰۰۹	-۰/۰۶۱	فاصله توپوگرافیکی از شب ۱۰-۰٪
-۰/۰۲۲	-۰/۰۰۲	۰/۰۰۳	۰/۰۱	۰/۰۲۱	۰/۰۰۶	۰/۰۱۴	-۰/۰۹۲	فراآنی شب ۲۰-۱٪ در مقیاس ۱ کیلومتر
-۰/۰۳۱	-۰/۰۵۲	۰/۰۰۵	۰/۰۵	-۰/۱۰۹	۰	-۰/۰۷۷	۰/۱۰۱	فراآنی شب ۲۰-۱٪ در مقیاس ۳ کیلومتر
-۰/۰۰۱	-۰/۰۰۲	۰	۰/۰۰۹	۰/۰۰۲	۰	-۰/۰۰۶	-۰/۰۸۵	فاصله توپوگرافیکی از شب ۲۰-۱٪
۰/۰۰۳	۰/۰۰۷	۰	۰/۰۱۸	-۰/۰۱۳	۰/۰۰۱	۰/۰۲۴	۰/۰۹۲	فراآنی شب ۴۰-۳٪ در مقیاس ۱ کیلومتر
-۰/۰۶۳	۰/۰۳۸	-۰/۰۱۵	-۰/۰۰۹	-۰/۰۵۹	۰/۰۱	-۰/۰۲۷	۰/۱۳۸	فراآنی شب ۴۰-۳٪ در مقیاس ۳ کیلومتر
۰/۰۰۶	۰/۰۰۳	۰/۰۰۱	۰	۰	-۰/۰۰۲	-۰/۰۱۲	-۰/۱۱۴	فاصله توپوگرافیکی از شب ۴۰-۳٪
-۰/۰۳۴	-۰/۰۱	۰/۰۰۱	-۰/۰۵۷	۰/۰۰۲	۰/۰۰۷	-۰/۰۱۱	۰/۱۱۴	فراآنی شب ۵۰-۴٪ در مقیاس ۱ کیلومتر

ادامه جدول ۱ - مقادیر هشت فاکتور اول حاصل از آنالیز ENFA برای زیستگاه پاییزه گوسپند وحشی البرز مرکزی

در مجموعه حفاظتی جاجرد

S7 ٪۲	S6 ٪۳	S5 ٪۵	S4 ٪۶	S3 ٪۸	S2 ٪۱۱	S1 ٪۱۳	M ٪۴۳	متغیرهای بومجغرافیایی
۰/۰۵۴	-۰/۱۰۳	۰/۰۱۵	۰/۰۰۱	-۰/۱۱۸	-۰/۰۰۶	-۰/۰۷۴	۰/۲۵۴	فراآنی شبیب ۵۰-۴۰٪ در مقیاس ۳ کیلومتر
۰/۰۰۱	۰/۰۰۴	۰/۰۰۲	-۰/۰۰۲	-۰/۰۱۱	-۰/۰۰۱	-۰/۰۰۱	-۰/۱۲۴	فاصله توپوگرافیکی از شبیب ۵۰-۴۰٪
-۰/۰۰۹	۰/۰۱۵	-۰/۰۱۲	۰/۰۷۲	۰/۱۳۷	-۰/۰۲۴	-۰/۱۹۱	-۰/۱۱۴	فراآنی شبیب ۱۰۰-۷۵٪ در مقیاس ۳ کیلومتر
۰/۰۳	۰/۰۰۳	-۰/۰۰۲	-۰/۰۲۲	-۰/۰۰۹	-۰/۰۰۹	.	-۰/۱۸	فاصله توپوگرافیکی از شبیب ۱۰۰-۷۵٪
۰/۱۹۴	-۰/۰۷۴	-۰/۰۲۷	-۰/۰۹۶	۰/۴۱۳	۰/۰۰۹	۰/۱۸۸	۰/۰۱۲	فاصله توپوگرافیکی از اتوبان آبعلی
۰/۱۳۶	-۰/۰۱۳	-۰/۰۰۶	-۰/۱۷۳	۰/۰۹۲	-۰/۰۰۵	۰/۰۵۳	-۰/۳۳	فاصله توپوگرافیکی از جاده‌های آسفالت طبقه ۱
۰/۰۱۶	-۰/۰۲۵	۰/۰۰۳	-۰/۰۲۸	-۰/۰۳۸	۰/۰۱۸	-۰/۰۸۸	۰/۱۸۶	فاصله توپوگرافیکی از جاده‌های آسفالت طبقه ۲
۰/۰۳۱	-۰/۰۰۳	۰/۰۱۵	-۰/۱۴۱	۰/۰۵۷	-۰/۰۱۵	۰/۰۴۵	-۰/۳۵۶	فاصله توپوگرافیکی از جاده‌های خاکی طبقه ۱
۰/۰۲۱	۰/۰۵۷	-۰/۰۰۲	-۰/۱۵۹	-۰/۲۰۵	-۰/۰۱۵	-۰/۰۴۹	۰/۳۲۷	فاصله توپوگرافیکی از جاده‌های خاکی طبقه ۲
-۰/۰۴۴	۰/۰۲۵	-۰/۰۱	۰/۱۳۵	-۰/۱۰۸	۰/۰۰۸	-۰/۰۳۷	-۰/۱۲۷	فاصله توپوگرافیکی از تمام جاده‌ها
-۰/۰۱	-۰/۰۰۷	۰/۰۰۲	-۰/۰۱۸	-۰/۰۱	۰/۰۰۱	-۰/۰۲۷	۰/۰۸۷	فراآنی دامنه‌های شرقی در مقیاس ۱ کیلومتر
-۰/۰۱۲	۰/۰۲۸	۰/۰۰۱	۰/۱۴	-۰/۰۹۱	۰/۰۰۵	-۰/۰۶	۰/۱۴۴	فراآنی دامنه‌های شرقی در مقیاس ۳ کیلومتر
-۰/۰۰۹	-۰/۰۰۲	۰/۰۰۲	-۰/۰۰۷	-۰/۰۰۵	-۰/۰۰۱	۰/۰۰۴	-۰/۱۳۸	فاصله توپوگرافیکی از دامنه‌های شرقی
-۰/۰۳۶	-۰/۰۲۹	۰/۰۰۷	-۰/۰۰۸	-۰/۰۱۳	-۰/۰۰۷	-۰/۰۲۸	-۰/۰۱۴	فراآنی دامنه‌های شمالی در مقیاس ۱ کیلومتر
-۰/۰۲۴	۰/۰۲۳	-۰/۰۱۴	۰/۱۴	-۰/۱۴۴	۰/۰۱۸	-۰/۰۲۵	۰/۱۴	فراآنی دامنه‌های شمالی در مقیاس ۳ کیلومتر

ادامه جدول ۱ - مقادیر هشت فاکتور اول حاصل از آنالیز ENFA برای زیستگاه پاییزه گوسپید وحشی البرز مرکزی

در مجموعه حفاظتی جاجrud

S7 ٪۲	S6 ٪۳	S5 ٪۵	S4 ٪۶	S3 ٪۸	S2 ٪۱۱	S1 ٪۱۳	M ٪۴۳	متغیرهای بوم‌جغرافیایی
-۰/۰۰۲	-۰/۰۰۶	-۰/۰۰۱	۰	-۰/۰۰۹	۰/۰۰۳	۰/۰۰۵	-۰/۱۰۶	فاصله توپوگرافیکی از دامنه‌های شمالی
-۰/۰۳۸	-۰/۰۲۹	۰/۰۰۴	-۰/۰۴۳	۰/۰۱۲	-۰/۰۰۴	-۰/۰۲۶	۰/۰۲۵	فراوانی دامنه‌های جنوبی در مقیاس ۱ کیلومتر
۰/۰۳۵	۰/۰۴	-۰/۰۱۱	۰/۱۵۲	-۰/۱۱	۰/۰۱۳	-۰/۰۷۹	۰/۰۲۲	فراوانی دامنه‌های جنوبی در مقیاس ۳ کیلومتر
-۰/۰۰۸	۰/۰۰۳	-۰/۰۰۱	-۰/۰۱۸	۰/۰۰۱	۰	۰/۰۰۶	-۰/۰۷۳	فاصله توپوگرافیکی از دامنه‌های جنوبی
-۰/۰۳۳	-۰/۰۱۱	۰/۰۰۴	-۰/۰۴۱	-۰/۰۰۳	-۰/۰۰۳	-۰/۰۳۵	۰/۰۰۳	فراوانی دامنه‌های غربی در مقیاس ۱ کیلومتر
-۰/۰۱۹	۰/۰۲۲	-۰/۰۰۷	۰/۱۲۸	-۰/۰۵۸	۰/۰۰۳	-۰/۰۰۹	۰/۱۰۶	فراوانی دامنه‌های غربی در مقیاس ۳ کیلومتر
-۰/۰۱۳	-۰/۰۰۴	۰/۰۱	-۰/۰۱۴	۰/۰۰۶	۰	۰/۰۱	-۰/۰۶۹	فاصله توپوگرافیکی از دامنه‌های غربی
-۰/۶۶۸	۰/۶۹۱	-۰/۷۰۶	۰/۵۲۹	-۰/۳۱۹	۰/۷۰۸	۰/۶۵۸	۰/۰۹۸	ارتفاع از سطح دریا
-۰/۶۵۲	۰/۶۹۶	-۰/۶۲۱	۰/۵۱۶	-۰/۳۶۵	۰/۷	۰/۵۹۵	-۰/۱۰۴	میانگین دمای پاییزه
۰/۰۱۱	-۰/۰۰۸	۰/۰۰۴	-۰/۰۰۲	۰/۰۰۳	۰	۰/۰۰۷	-۰/۰۰۱	شیب (%)
-۰/۱۲۹	-۰/۰۰۹	۰/۰۰۳	-۰/۰۳۸	-۰/۳۳۳	-۰/۰۵	-۰/۰۳۷	-۰/۰۴۵	فاصله توپوگرافیکی از مزارع
-۰/۱۳۱	۰/۰۱۹	۰/۰۱۶	-۰/۰۲۴	-۰/۱۵۴	-۰/۰۰۳	-۰/۰۴۴	-۰/۳۴۲	فاصله توپوگرافیکی از جنگل دست کاشت
۰/۰۳۶	۰/۰۱۶	-۰/۰۰۵	۰/۰۲۷	-۰/۰۲۶	۰/۰۰۴	-۰/۰۴۶	-۰/۱۳۳	فاصله توپوگرافیکی از باغات
-۰/۰۳۸	۰/۰۴۸	-۰/۰۰۹	۰/۰۴۲	۰/۲۶۲	-۰/۰۰۷	۰/۰۴۲	۰/۲۶۷	فاصله توپوگرافیکی از روستاهای
-۰/۰۱۶	-۰/۰۲۶	-۰/۰۱۳	-۰/۰۰۳	-۰/۰۳۳	۰/۰۱۱	۰/۰۰۴	۰/۱۳۶	فاصله توپوگرافیکی از مناطق نظامی طبقه ۱
-۰/۰۶۳	-۰/۰۱	۰/۰۰۸	۰/۲۳۴	-۰/۰۵۳	۰/۰۵۵	-۰/۰۸۸	-۰/۱۷۴	فاصله توپوگرافیکی از مناطق نظامی طبقه ۲

ستون اول متغیرهای بوم‌جغرافیایی، ستون دوم مقادیر ویژگی حاشیه‌ای و ستون‌های بعدی شامل مقادیر تخصص گرایی (S7 تا S1) هستند. درصد های بیانگر مقدار واریانس نمایش داده شده بوسیله هر فاکتور هستند. مقادیر مثبت ویژگی حاشیه‌ای نشان می‌دهد که گونه مورد مطالعه مقدار بالاتری از میانگین متغیر مورد نظر را ترجیح می‌دهد و مقادیر منفی نشان می‌دهد که گونه مقادیر کمتری از میانگین آن متغیر را در منطقه ترجیح می‌دهد.

نقشه مطلوبیت زیستگاه

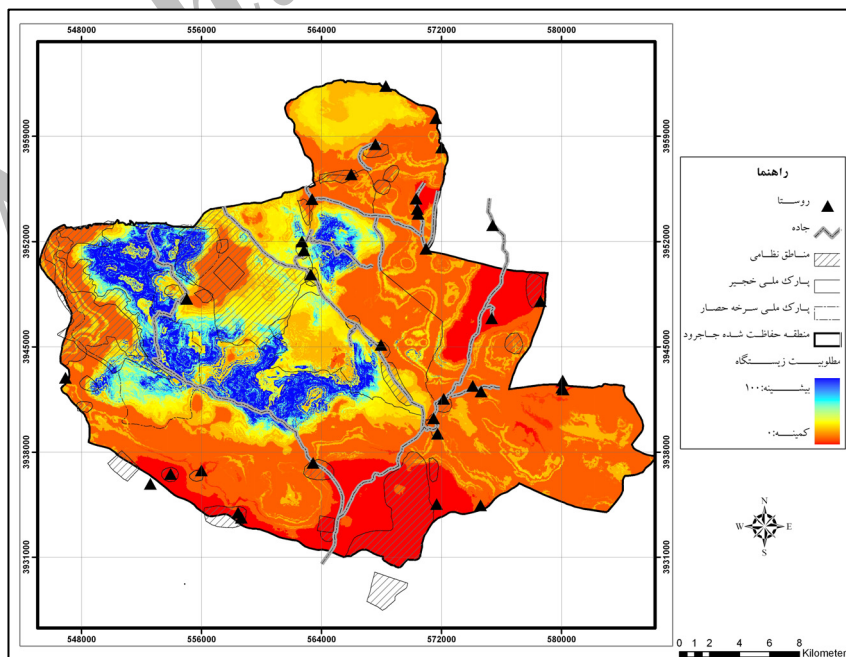
با استفاده از الگوریتم میانگین هارمونیک نقشه مطلوبیت زیستگاه تهیه شد (شکل ۲) و با توجه به تغییرات شبی منحنی نمودار شکل ۱ به چهار طبقه نامطلوب، بینابینی، مطلوب و بهینه طبقه بندی شد (شکل ۳). بخش‌هایی از زیستگاه که دارای شاخص مطلوبیت زیر ۲۷ هستند ($F=1$)، جزو مناطق نامطلوب به حساب می‌آیند زیرا در آن‌ها مقدار حضور پیشینی شده توسط مدل کمتر از مقداری است که بر حسب تصادف مورد انتظار است. دامنه شاخص مطلوبیت و مساحت هریک از طبقات مطلوبیت زیستگاه در جدول ۳ ذکر شده است.

جدول ۲- مقادیر شاخص بویس الگوریتم‌های مختلف برای تهیه نقشه مطلوبیت زیستگاه پاییزه گوسپند وحشی در مجموعه جاجرود

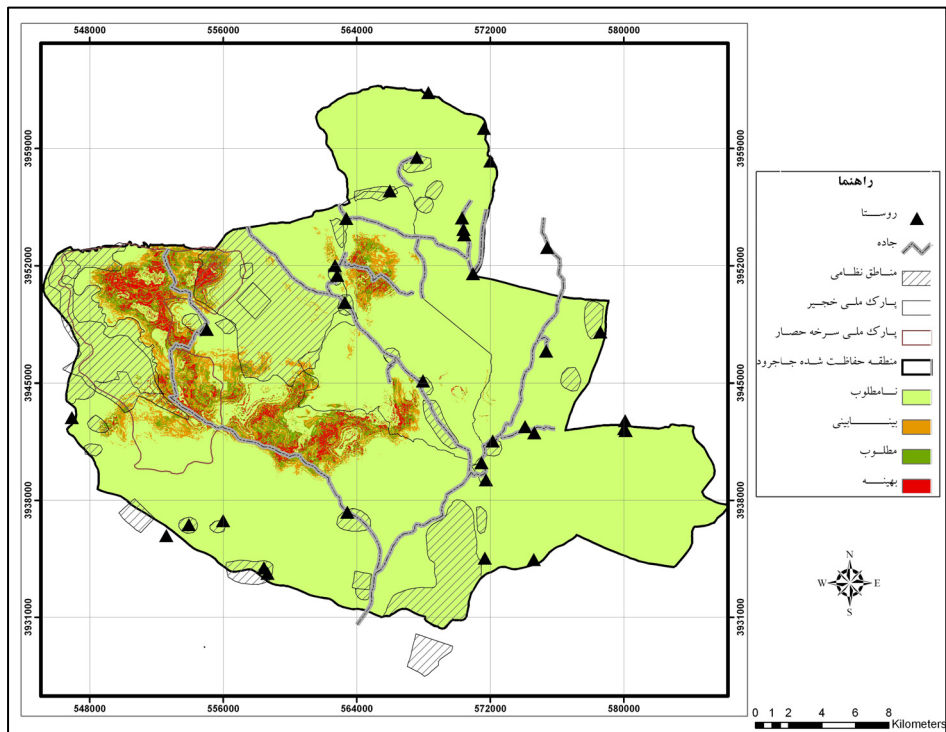
الگوریتم	شاخص بویس
میانگین هارمونیک	0.955 ± 0.04
میانگین هندسی	0.849 ± 0.2
میانه	0.803 ± 0.2

جدول ۳- دامنه مطلوبیت، مساحت و درصد فراوانی نسبی هریک از طبقات مطلوبیت زیستگاه پاییزه گوسپند وحشی البرز مرکزی در مجموعه حفاظت‌شده جاجرود.

نام طبقه	دامنه مطلوبیت	مساحت (هکتار)	درصد فراوانی نسبی
نامطلوب	-۲۷	۶۳۸۱۳	۸۷/۸۶
بینابینی	۲۷-۴۴	۳۸۱۵	۵/۲۵
مطلوب	۴۴-۶۲	۳۱۲۸	۴/۳
بهینه	۶۲-۱۰۰	۱۸۷۰	۲/۵۷



شکل ۲- نقشه مطلوبیت زیستگاه پاییزه گوسپند وحشی البرز مرکزی در مجموعه حفاظت شده جاجرود



شکل ۳- نقشه طبقات مطلوبیت زیستگاه پاییزه گوسپند و حشی البرز مرکزی در مجموعه حفاظت شده جاجروود.

بر اساس نتایج بدست آمده در این پژوهش گوسپند و حشی البرز مرکزی در فصل پاییز نسبت به تغییر شرایط بهینه منابع زیستگاهی خود حساس بوده و آشیان بوم شناختی باریکی دارد در نتیجه هرگونه تغییر در زیستگاه می تواند نقش تاثیر گذاری در بقاء جمعیت های این گونه در منطقه مطالعاتی داشته باشد.

گوسپند و حشی در فصول پاییز و زمستان مناطق کم ارتفاع را ترجیح می دهد (Wockner et al., 2008, Ziaie, 2003). بر اساس مشاهدات بومیان و محیط بانان قدیمی در گذشته که توسعه انسانی در منطقه وجود نداشت، در این فصل دستجات بزرگ قوچ و میش بومی منطقه و گله های مهاجر پارک ملی لار در مناطقی که ارتفاع آنها کمتر از میانگین زیستگاه بود (شهرک زیتون، ترکمنده، پادگان های غرب و جنوب منطقه) ساکن می شدند. می توان دلیل اینکه این گونه در حال حاضر در فصل پاییز ارتفاعات بیشتر از میانگین زیستگاه را ترجیح می دهد را وجود اکثر اماکن انسان ساخت در دامنه ارتفاعی ۱۰۰۰ تا ۱۵۰۰ متر بیان

بحث و نتیجه‌گیری

مقدار و شکل منحنی Boyce قدرت بالای پیش‌بینی مدل را تایید می کند. همچنین بازدید میدانی در سال بعد از مناطق مطلوب پیش‌بینی شده توسط مدل که در بازه زمانی مطالعاتی مورد بازدید قرار نگرفته بود، نشان داد که نتایج مدل قابل انتکا هستند.

بر اساس نقشه مطلوبیت زیستگاه پاییزه ۱۲/۱۲، درصد از مجموعه حفاظت شده جاجروود با مساحتی در حدود ۸۸۱۳ هکتار را می توان زیستگاه مطلوب پاییزه گوسپند و حشی البرز مرکزی معرفی نمود. این زیستگاه پیوسته نبوده و شامل ۶ لکه زیستگاهی است. بزرگترین لکه با مساحت ۶۹۸۲ هکتار بخش عمده‌ای از پارک ملی سرخه حصار و قسمتی از منطقه حفاظت شده جاجروود مابین جنوب غرب پارک ملی خجیر و جنوب شرق پارک ملی سرخه حصار را در بر می گیرد.

می‌شود. در فصل پاییز گوسپند وحشی از مناطق نظامی که سازه‌های نظامی در آن‌ها وجود دارد دوری می‌کند. این مناطق به واسطه توسعه انسانی ارزش زیستگاهی خود را از دست داده‌اند. مناطقی که جزء مناطق نظامی هستند ولی سازه‌های نظامی در آن‌ها وجود ندارد باعث جذب گله‌ها می‌شوند. ورود انسان و دام به‌این مناطق ممنوع بوده و از نواحی بسیار امن به حساب می‌آیند. این مناطق در صورتی که سایر ویژگی‌های زیستگاه پاییزه را دارا بوده و مساحت مناسب داشته باشند، احتمال تجمع گله‌های قوچ و میش در آن‌ها زیاد است.

تقدیر و تشکر

بدینوسیله از راهنمایی‌ها و مساعدت‌های مسئولین و کارشناسان اداره کل محیط زیست استان تهران آقایان شادروان سید یوسف جبلی، محمد کرمی، امیر عباس مشهدی احمدی، سید حسن فراهانی و محیط‌بانان مجموعه حفاظت شده جاجرود سپاسگزاری می‌گردد. همچنین از آقایان علیرضا هاشمی، فرید مبصر، محمد توحیدی‌فر و مهدی چلانی که در مطالعات میدانی همکاری نموده‌اند تقدیر و تشکر می‌شود.

کرد. این در حالیست که مساحت مناطقی که ارتفاع آن‌ها کمتر از میانگین زیستگاه است حدوداً دو هزار هکتار بیشتر از مناطقی است که ارتفاع آن‌ها بیشتر از میانگین زیستگاه است. با توجه به مقادیر تخصص‌گرایی گونه مورد مطالعه در پاییز نسبت به تغییرات ارتفاعی و میانگین دمای فصل بیشترین حساسیت را دارد و توسعه بیشتر انسانی و اشغال مناطق باقیمانده می‌تواند تاثیرات جبران ناپذیری داشته باشد. بنابراین مدیریت مناطق انسان ساخت امری ضروری به نظر می‌رسد.

بر اساس نتایج ENFA گوسپند وحشی البرز مرکزی در این فصل مناطقی که دارای شبیه نزدیک به میانگین زیستگاه (۱۵٪) و گریزگاه (شبیه‌های ۳۰-۵۰٪) باشند را ترجیح می‌دهد. از آنجایی که ۴۰ درصد از مساحت منطقه مورد مطالعه دارای شبیه مناسب بوده و علاوه براین گوسپند وحشی در این منطقه به تغییرات شبیه حساسیت کمی دارد، می‌توان گفت مجموعه جاجرود از لحاظ این متغیر برای زیستگاه پاییزه گوسپند وحشی البرز مرکزی مناسب است.

استفاده از تابع فاصله توپوگرافیکی نشان داد وجود تپه‌ماهورهای مرفوع بین پدیده‌های انسان ساخت و زیستگاه‌های پاییزه باعث افزایش مطلوبیت این زیستگاه‌ها

منابع

- Boom Abad Consultatnt Engineers. 2002. Jajrood Protected Complex Action Plan. Iran Department of Environment.
- Etienne RS. 2002. Striking the metapopulation balance mathematical Models & Methods Mett Metapopulation Management. Phd Thesis. Dutch. Wageningen University.208 p.
- Boyce MS PR, Vernier SE, Nielsen FK. 2002. Evaluating resource selection functions. Ecological Modelling 157: 281-300
- Geist V.1971. Mountain sheep,a study in behavior and evolution.Univ, Chicago Press, Chicago. 383pp.
- Guisan A, Zimmermann N. 2000. Predictive habitat distribution models in ecology. Ecological modeling..135: 147-186.
- Hirzel AH. 2001. When GIS come to life. Linking landscape and population ecology for large population management modelling: the case of Ibex (Capra ibex) in Switzerland. PhD thesis, University of Lausanne, Lausanne, Switzerland.106p.
- Hirzel A H, Arlettaz R. in press. Environmental-envelope based Habitat-suitability models. In the proceedings of the 1st Conference on Resource Selection by Animals, Laramie, Wyoming, USA.
- Hirzel, A.H, Arlettaz, R. 2003. Modelling habitat suitability for complex species distributions by the environmental-distance geometric mean. Environmental Management, 32: 614-23.
- Hirzel AH, Guisan A. 2002a. Which is the optimal sampling strategy for habitat suitabilitymodelling . Ecological Modelling 157: 331-341.

- Hirzel AH, Hausser J, Chessel D, Perrin, N. 2002b. Ecological niche factor analysis: How to compute habitat suitability maps without absence data? *Ecology*, 83: 2027-2036.
- Hirzel A H, Hausser J, Perrin N. Biomapper 3.1. Division of Conservation Biology, University of Bern, 2008. URL: <http://www.unil.ch/biomapper>
- Karl JW, Heglund PJ, Garton, EO, Scott JM, Wright NM, Hutto RL. 2000. Sensivity of species habitat-relationship model performance to factors of scale. *Ecological applications*. 10: 1690-1705.
- Luoto M, Heikkinen RK, Poyry J, Saarinen K. 2006. Determinants of the biogeographical distribution of butterflies in boreal regions. *Journal of Biogeography* 33:1764–1778.
- Manel S, Dias JM, Buckton ST, Ormerod SJ. 1999. Alternative methods for predicting species distribution: an illustration with Himalayan river birds. *Journal of Applied Ecology*. 36: 734-747.
- Martinez I, Carreno F, Escudero A, Rubio A. Are threatened lichen species well-protected in spain? Effevtivnes of a protected area network. 2006. *Biological Conservation*. 133: 500-511
- Patthey P. 2003. Habitat and corridor selection of an expanding red deer (*cervus elaphus*) population. Phd thesis. University of Lausanne. Lausanne, Switzerland. 152 p.
- Rushton SP, ormerod SJ, Kerby G. 2004. New paradigms for modeling species distribution. *Journal of applied ecology*. 41: 193-200.
- Sobern J, Peterson AT. 2005. Interpretation of models of fundamental ecological niches and species' distributional areas. *Biodivers. Infor.* 2: 1–10.
- Wockner G, Singer F, Schoenecker K. 2003. Habitat Suitability Model for Bighorn Sheep and Wild Horses in Bighorn Canyon and the Pryor Mountain Wild Horse Range. University of Fort Collins. 41p.
- Ziae, H. 2008. Mammals of Iran. Ashnai ba Hayate Vahsh Press. 430p.